

平成 17 年 8 月 23 日 (火)

13:00 ~ 16:00

平成 18 年度大学院博士前期課程  
電気電子情報工学専攻

選択科目 先進電磁エネルギー工学 入試問題

【注意事項】

- 問題の数は 5 題である。4 題選択して解答せよ。解答は

問題 1 を (白色) の解答用紙

問題 2 を (赤色) の解答用紙

問題 3 を (青色) の解答用紙

問題 4 を (黄色) の解答用紙

問題 5 を (水色) の解答用紙

に記入すること。

解答用紙を間違えると採点されない場合があるので注意すること。

- 配点は各問題 50 点であり、合計 200 点である。
- 問題用紙は表紙を含めて 11 枚である。

問題 1

真空中に図 1 のように近接した 1 組の点電荷の対を考え、その電荷量をそれぞれ  $+q_1$  および  $-q_1$  とし、間隔を  $d_1$  とする。点電荷対の中心を球座標系  $(r, \theta, \phi)$  の原点にとり、座標  $\theta$  の基準軸 ( $\theta=0$  方向) を図のように定める。原点から距離  $r$  が点電荷間の間隔  $d_1$  に比べて十分大きい ( $r \gg d_1$ ) ような遠方の点を点  $P(r, \theta, \phi)$  とする。ここで球座標における基本ベクトルを  $i_r, i_\theta, i_\phi$  とし、ハミルトンの

$$\nabla = i_r \frac{\partial}{\partial r} + i_\theta \frac{1}{r} \frac{\partial}{\partial \theta} + i_\phi \frac{1}{r \sin \theta} \frac{\partial}{\partial \phi}$$

とする。以下の問に答えよ。

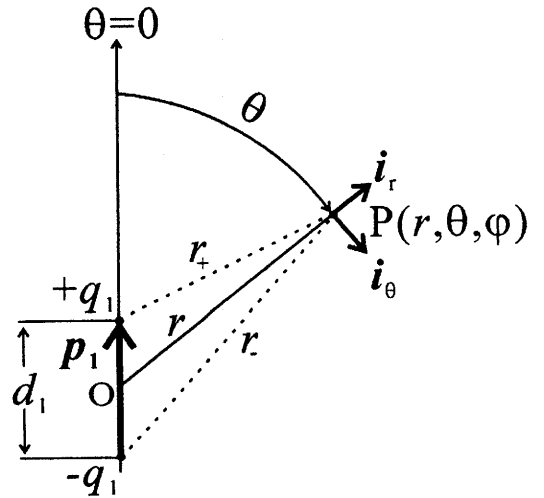


図 1

問 1  $+q_1$  および  $-q_1$  なる正、負の点電荷から点 P までの距離をそれぞれ  $r_+$  および  $r_-$  とし、 $(d_1/r)^2$  以上の高次の微小量を無視する。以下の空欄を埋めよ。

$$r_+ = \boxed{\quad (1) \quad}$$

$$r_- = \boxed{\quad (2) \quad}$$

したがって、点 P に生ずる電位  $\phi$  は

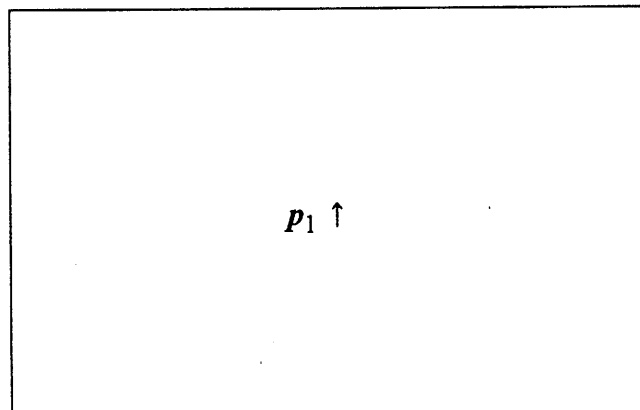
$$\phi = \frac{1}{4\pi\epsilon_0} \left( \frac{q_1}{r_+} - \frac{q_1}{r_-} \right) = \boxed{\quad (3) \quad}$$

電気双極子能率の大きさを  $p_1 = q_1 d_1$  とし、かつ  $d_1/r \rightarrow 0$  の極限で (3) は

$$\phi = \boxed{\quad (4) \quad}$$

となる。

問 2 問 1 で求めた電位  $\phi$  の等電位線の概略を点線で図示せよ。またそれをもとに電気力線の概略図を実線と矢印で書き加えよ。



問3 点Pに新たに電気双極子能率の大きさ  $p_2 = q_2 d_2$  である電気双極子  $p_2$  を図2のように中心を点Pに、方向を  $i_r$  方向 (または  $i_\theta$  方向) に向けて置く場合、 $p_2$  に生ずるトルク  $T$  を求める。以下の空欄を埋めよ。

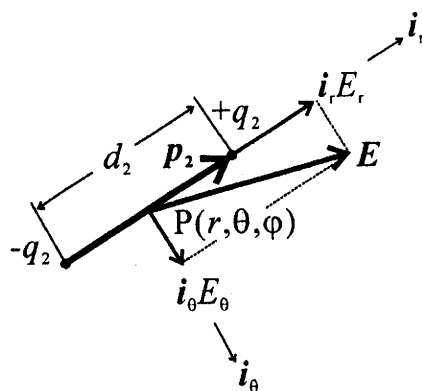


図2

電気双極子  $p_1$  が点Pに作る電界  $E$  はハミルトンの演算子  $\nabla$  と (4) を用いて、電界  $E$  の各方向成分を求めると

$$E_r = \boxed{\hspace{10em}} \quad (5)$$

$$E_\theta = \boxed{\hspace{10em}} \quad (6)$$

$$E_\phi = \boxed{\hspace{10em}} \quad (7)$$

であるから電気双極子  $p_2$  の方向が図2のように  $i_r$  方向にある場合、トルク  $T$  の大きさ  $T$  は電気双極子能率の大きさ  $p_1$  と  $p_2$  を用いて

$$T = \boxed{\hspace{10em}} \quad (8)$$

である。

同様に電気双極子  $p_2$  が  $i_\theta$  方向を向く場合、 $T$  の大きさ  $T$  は

$$T = \boxed{\hspace{10em}} \quad (9)$$

である。したがって、電気双極子  $p_2$  が点Pで電界  $E$  より受けるトルク  $T$  は、ベクトル表記すると、いずれの場合も以下のように表現でき、一般化される。

$$T = \boxed{\hspace{10em}} \quad (10)$$

## 問題 2

以下の文章を読んで、問 1 ～ 問 3 に答えよ。

熱平衡状態にある気体中の粒子（以下、原子と仮定）の速度分布関数  $f$  は以下のよう  
に表される。ただし、速度  $\mathbf{v}$  の  $x$ 、 $y$ 、 $z$  成分をそれぞれ、 $v_x$ 、 $v_y$ 、 $v_z$  とする。

$$f(v_x, v_y, v_z) = n \left( \frac{m}{2\pi kT} \right)^{3/2} \exp \left( - \frac{m(v_x^2 + v_y^2 + v_z^2)}{2kT} \right)$$

ここで、 $n$  は原子密度、 $k$  はボルツマン定数、 $T$  は温度、 $m$  は原子の質量である。この

時、 $\int_{-\infty}^{\infty} dv_x \int_{-\infty}^{\infty} dv_y \int_{-\infty}^{\infty} dv_z f(v_x, v_y, v_z) = n$  である。この関数  $f$  を (1) の速

度分布関数と呼ぶ。速度の大きさ  $v$  を、 $v = \sqrt{v_x^2 + v_y^2 + v_z^2}$  と定義し、 $v$  に関する速度

分布関数  $F(v)$  を求めると (a)  $F(v) =$  (2) となる (ただし、 $\int_0^{\infty} F(v) dv = n$ )。

速度の大きさ  $v$  の平均値  $\langle v \rangle$  は、積分の形で表すと  $\langle v \rangle =$  (3) となり、この

式を解くと、 $\langle v \rangle =$  (4) となる。また原子の運動エネルギー  $E (= \frac{1}{2} m v^2)$

を変数とするエネルギー分布関数  $G(E)$  は、 $G(E) =$  (5) と表される (ただ

し、 $\int_0^{\infty} G(E) dE = n$ )。

次にこの気体が壁に及ぼす圧力  $P$  について考察する。壁は、 $x$  方向に垂直に存在する  
と仮定し (図参照)、気体中の原子は壁表面で鏡面反射し、また壁との衝突は弾性衝突  
であると仮定する。この場合に、 $x$  方向の速度の大きさ  $v_x (>0)$  で壁に入射した原子が  
壁に与える  $x$  方向の力積  $I_x$  は、 $I_x =$  (6) である。また、 $x$  方向に垂直な壁  
に、単位面積、単位時間あたり衝突する原子数 (フラックス)  $\Gamma$  は以下の式で表される。

$$\Gamma = \int_0^{\infty} dv_x \int_{-\infty}^{\infty} dv_y \int_{-\infty}^{\infty} dv_z f(v_x, v_y, v_z) v_x$$

これを解いて、 $\Gamma$  を求めると (b)  $\Gamma = n \sqrt{\frac{kT}{2\pi m}}$  となる。1 個の原子が壁に与える力積

$I_x$ を考慮すると壁に与えられる圧力  $P$  (単位面積、単位時間に壁に与えられる力積の総和) は、積分の形で表すと  $P =$  (7) となり、この式を解くと

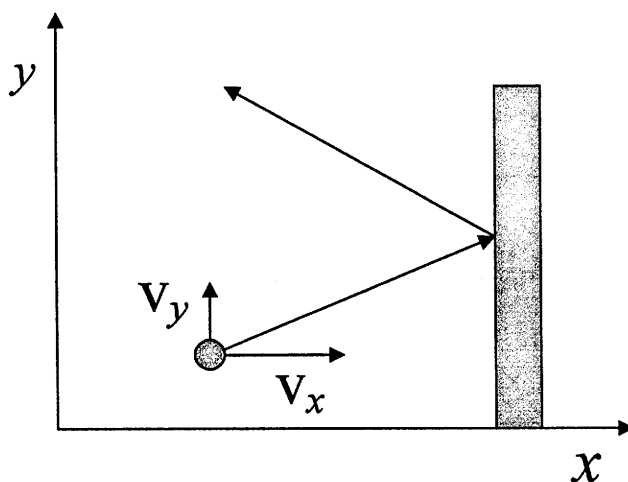
$P =$  (8) となる。この気体の温度  $T$  を下げると、液相と気相が混在する平衡状態となった (気相中では原子で存在すると仮定)。この時、液相からの蒸発フラックス (単位面積、単位時間あたりの蒸発原子数) を  $\phi_e$  とする。この時の気相の圧力  $P$  を  $\phi_e$  と温度  $T$  を含む式で表すと、 $P =$  (9) となる。ただし、原子が気相から液相に入射する際の反射率は 0 とする。

問 1 (1)から(9)までに、適当な語句、もしくは数式を入れよ。

問 2 下線部(a)の  $F(v)$  の関数形の概略をグラフで示せ。

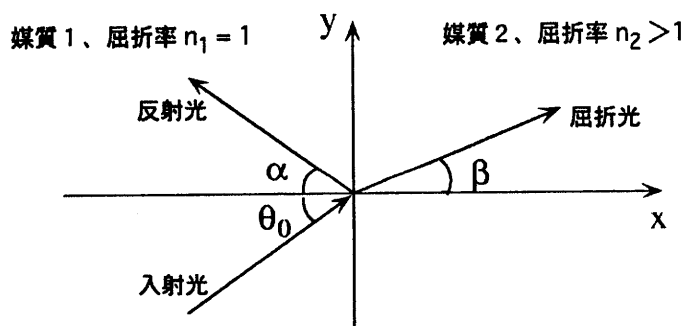
問 3 フラックス  $\Gamma$  が下線部(b)の様に表されることを示せ。

必要ならば  $\int_0^\infty x^2 e^{-ax^2} dx = \frac{1}{4} \sqrt{\frac{\pi}{a^3}}$ 、 $\int_0^\infty e^{-ax^2} dx = \frac{1}{2} \sqrt{\frac{\pi}{a}}$  の公式を用いても良い。



### 問題 3

図のように、媒質 1 から媒質 2 に入射角  $\theta_0$  で入射光を投入した場合を考える。ただし媒質 1 の屈折率を  $n_1 = 1$ 、媒質 1 中の光の速さを  $c$ 、入射光の周波数を  $f$ 、媒質 2 の屈折率を  $n_2 (>1)$  とする。



下記の問い (1) ~ (24) に関し、空欄には当てはまるべき適当な数式を、また二択問題には対応する語句・数字を選択し回答せよ。

媒質 1 での光の波長は  (1) 、

媒質 2 での光の速さは  (2) 、

媒質 2 での光の波長は  (3) と表せる。

反射光の反射角は  $\alpha =$   (4) となる。

屈折光の屈折角  $\beta$  と入射角  $\theta_0$  とは、 $n_1 \sin \theta_0 =$   (5) の関係があり、屈折角  $\beta$  は、入射角より (6) { 大きい、 小さい }。

媒質 (7) { 1、 2 } から、媒質 (8) { 1、 2 } に光を投入した場合には、入射角が、 (9) 以上になると光は全反射する。

図の屈折光の電場成分が、媒質 2 中で記述される波動方程式

$$(A) \quad \frac{\partial^2}{\partial t^2} E(x, y, t) - \frac{c^2}{\epsilon_2} \left[ \frac{\partial^2}{\partial x^2} E(x, y, t) + \frac{\partial^2}{\partial y^2} E(x, y, t) \right] = 0$$

を満たす平面波解

$$(B) \quad E(x, y, t) = E_0 \cos(k_x x + k_y y - \omega t)$$

によって与えられるものとする。ただし、 $E_0$  は電場の振幅で一定、 $\epsilon_2$  は媒質 2 の比誘電率 ( $\epsilon_2 > 1$ )、また  $k_x$ 、 $k_y$  は、それぞれ平面波の波数  $k = \sqrt{k_x^2 + k_y^2}$  の  $x$  成分と  $y$  成分、 $\omega$  は角周波数である ( $k_x$ 、 $k_y$ 、 $\omega$  は定数)。

波数  $k_y$  と  $k_x$  との比は、屈折角  $\beta$  を用いると、 $\frac{k_y}{k_x} =$  (10) と表せる。

媒質 2 の屈折率  $n_2$  と比誘電率  $\epsilon_2$  との関係は、 $n_2 =$  (11) である。また、

屈折光の角周波数  $\omega$  を入射光の周波数  $f$  を用いて表すと  $\omega =$  (12) となる。

上記の平面波解を波動方程式に代入し、媒質 2 中の角周波数  $\omega$  と波数  $k$  との関係を求めると

(13) となる。

平面波解 (B) の位相が一定な波面の速度、すなわち媒質 2 中の位相速度は、

(14) となる。

平面波解 (B) で与えられ、振幅が同じ ( $E_0$ ) で波数の少しだけ異なるほぼ並行に伝播する 2 つの波の合成波の包絡線は、空間的にも時間的にもゆっくり変化する。2 つの波数を

$k_a = \sqrt{k_{ax}^2 + k_{ay}^2}$ 、 $k_b = \sqrt{k_{bx}^2 + k_{by}^2}$ 、 $|k_a - k_b| \ll |k_a|, |k_b|$  とすると、この包絡線は

(15)  $\cos [ (16) x + (17) y - (18) t ]$  と表せる。

したがって、比誘電率  $\epsilon_2$  が、光の周波数によらず一定とすると、合成波の包絡線の伝播速度、

すなわち群速度は、(19) となる。

媒質 2 中の比誘電率  $\epsilon_2$  が光の角周波数に依存し、近似的に

(C)  $\epsilon_2 = 1 + \chi\omega$

で与えられるとする。ただし、 $\chi > 0$ 、 $|\chi\omega| < 1$  とする。

比誘電率が (C) 式で与えられる媒質での角周波数  $\omega$  と波数  $k$  との関係を求めると

(20) となる。

比誘電率が (C) 式で与えられる媒質 2 中の光の群速度  $\partial\omega / \partial k$  を、光の角周波数  $\omega$  で表すと、

(21) となる。したがって、この場合には、群速度は位相速度より

(22) { 大きく、 小さく } なる。

比誘電率が (C) 式で与えられ、位相速度が周波数に依存する分散媒質の境界面に、白色光を入射すると、周波数の高い、すなわち波長の短い光ほど位相速度が、(23) { 大きい、小さい } ため、短波長の光ほど屈折角  $\beta$  は、(24) { 大きく、小さく }、波長によって白色光は分散する。

#### 問題 4

次の文章の空欄を埋めて、最後の設問に答えよ。

運動する質量  $m$  の自由粒子の波束の位置  $x$  と時刻  $t$  に関する波動関数  $\psi(x, t)$  は運動量  $p$  によって次のように表せることが知られている。

$$\psi(x, t) = \int_{-\infty}^{+\infty} dp f(p - p_0) \exp\left(\frac{i}{\hbar}(px - W(p)t)\right) \quad (\text{a})$$

ここで  $W(p)$  は運動量  $p$  を持つ粒子のエネルギーである。また  $f(p - p_0)$  は運動量空間における粒子のフーリエ振幅であり、今  $f$  はガウス関数として広がり  $\Delta p$  として

$$f(p - p_0) = a \exp\left(-\frac{(p - p_0)^2}{2(\Delta p)^2}\right) \quad (\text{b})$$

で与えられるとする。ところで  $W(p)$  は自由粒子の場合  $W(p) = \boxed{(1)}$  と書ける

ので、 $\frac{dW}{dp} \Big|_{p=p_0} = \boxed{(2)} = v_g$ 、 $\frac{d^2W}{dp^2} \Big|_{p=p_0} = \boxed{(3)} = \alpha$  と書ける。

ここで  $v_g$  は実数、 $\alpha$  は正の定数となる。着目している粒子は運動量  $p_0$  を中心に微小な幅

$\Delta p$  だけ考えればよいので  $(p - p_0)$  に対して 2 次の項までテーラー展開すると、 $v_g$  と  $\alpha$  を

用いて

$$W(p) = \boxed{(4)} + (p - p_0) \cdot \boxed{(5)} + \frac{(p - p_0)^2}{2} \cdot \boxed{(6)}$$

と書ける。これを式(a)に代入し、 $p - p_0 = k$  とおいて整理し、 $k$ 、 $v_g$ 、及び  $\alpha$  を用いて  $\psi$  を書くと、

$$\psi(x, t) = a \exp\left(\frac{i}{\hbar} \left( \boxed{(7)} \right)\right) \times \int_{-\infty}^{+\infty} dk \exp\left( \boxed{(8)} \right)$$

と表すことができる。この式の積分記号の外側は正弦波動を表している。この積分を実行し  $|\psi(x, t)|^2$  を求めると



$$|\psi(x,t)|^2 = 2\pi|a|^2(\Delta p)^2 \frac{\exp\left[-\left(\frac{x - v_g t}{\frac{\hbar}{\Delta p} \sqrt{1 + \frac{\alpha^2 t^2}{\hbar^2} \Delta p^4}}\right)^2\right]}{\sqrt{1 + \frac{\alpha^2 t^2}{\hbar^2} \Delta p^4}}$$

となる。この式は式(a)と式(b)により与えられた質量  $m$  の自由粒子の確率密度である。この式から自由粒子の空間的広がり、時間と共にどのように変化していくかを定性的に説明せよ。

説明： (9)

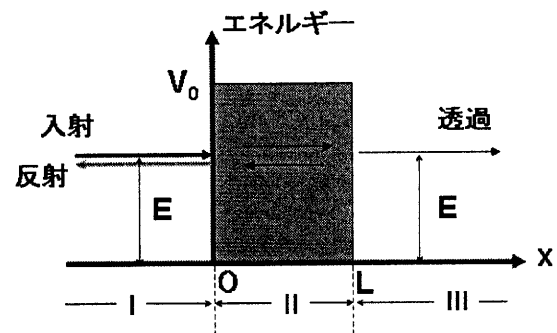
問題 5

1 次元のポテンシャル  $V(x)$  が与えられたとき、質量  $m$  の粒子に対する波動関数を与えるシュレディンガー方程式は

$$i\hbar \frac{\partial \Psi}{\partial t} = -\frac{\hbar^2}{2m} \frac{\partial^2 \Psi}{\partial x^2} + V(x)\Psi$$

である。 $V(x)=0$  (一定) のときの自由粒子の波動関数は  $\Psi(x,t)=e^{i(px-Et)/\hbar}$  で与えられる。但し  $p$  は運動量、 $E$  は一定のエネルギー、 $\hbar$  はプランク定数とする。

今、右図のように幅が  $L$ 、高さが  $V_0$  の一次元ポテンシャル障壁を考える。障壁の左側から一定のエネルギー  $E$  ( $< V_0$ ) の粒子 (入射波) が進行し障壁に衝突し、一部がはじき返され一部は障壁を通り抜けて領域 III に達して透過波になるとする。以下の問に答えよ。



問 1. エネルギー  $E$  が一定状態 (定常状態) の一般的な波動関数  $\Psi(x, t)$  の空間部分  $\psi(x)$  を決定する時間に依存しないシュレディンガー方程式を示せ。

(1)

問 2. 障壁のポテンシャルエネルギーより小さな粒子エネルギーでも障壁を透過することができる現象または効果を何と言うか。

(2)

問 3. それぞれの領域 (I, II, III) における波動関数  $\psi(x)$  を示せ。但し領域 I にける入射、反射波の振幅定数は  $A$  と  $B$ 、領域 III における透過波の振幅定数を  $C$ 、領域 II における振幅定数を  $F$  と  $G$  とせよ。

領域 I :  $\psi_I(x) =$ 

(3)

領域 II :  $\psi_{II}(x) =$ 

(4)

領域 III :  $\psi_{III}(x) =$ 

(5)

問4. 領域 I と II ( $x=0$ ) 及び II と III ( $x=L$ ) における境界条件 (関数と導関数の値の連続性) より A, B, C, F, G の間に成り立つ 4 つの関係式を示せ。

$$(6)$$

$$(7)$$

$$(8)$$

$$(9)$$

問5. 上記 4 つの関係式より F と G を消去して、障壁ポテンシャルに於ける反射率  $|B|^2/|A|^2$  と透過率  $|C|^2/|A|^2$  を求めよ。但し  $\sinh(x) = (e^x - e^{-x})/2$

$$|B|^2/|A|^2 = (10)$$

$$|C|^2/|A|^2 = (11)$$

問6. 元素が  $\alpha$  粒子を放出して別の元素に変わる  $\alpha$  崩壊の半減期は、 $\alpha$  粒子のエネルギーに依存することを定性的に説明せよ。(図等を使って説明してもよい。)

$$(12)$$